

06.2; 06.3; 07; 12

© 1991

НАПРЯЖЕННЫЕ СЛОИ И СВЕРХРЕШЕТКИ $\text{CaF}_2\text{-SrF}_2$ НА КРЕМНИИ И АРСЕНИДЕ ГАЛЛИЯ

Х.К. Альварес, С.В. Новиков,
Н.С. Соколов, Н.Л. Яковлев

Как известно [1], эпитаксиальные слои фторидов кальция и стронция, выращенные методом молекулярно-лучевой эпитаксии (МЛЭ) на полупроводниках, представляют значительный интерес как для разнообразных применений в микроэлектронике, так и для проведения фундаментальных физических исследований. Для получения согласованных по постоянной решетки структур GaAs -фторид в [2] использовались твердые растворы (Ca, Sr) F_2 . В ряде случаев, однако, более предпочтительным, на наш взгляд, было бы применение напряженных слоев и сверхрешеток на основе чистых фторидов CaF_2 и SrF_2 . Однако принципиальная возможность получения таких напряженных структур до настоящего времени оставалась неясной. Тем более, что в [3] на основе анализа картин дифракции быстрых электронов на отражение (ДБЭ) приводятся свидетельства в пользу непсевдоморфного (некогерентного) характера роста фторидов на полупроводниках и фторидов на фторидах. В [4] было убедительно показано, что при определенных условиях возможен псевдоморфный рост CaF_2 на Si (111).

В настоящей работе *in situ* анализировались осцилляции интенсивности ДБЭ в процессе эпитаксиального роста CaF_2 и SrF_2 , а также спектры низкотемпературной фотолюминесценции ионов Sm^{2+} с целью изучения возможности когерентного роста слоев фторидов в такой сильно рассогласованной ($\sim 6.2\%$) гетеропаре.

Выращивание эпитаксиальных слоев CaF_2 и SrF_2 на Si и GaAs производилось методом молекулярно-лучевой эпитаксии в небольших исследовательских установках, описанных в основных чертежах в [5]. Для измерения интенсивности рефлексов ДБЭ во время роста фторидов использовались электронно-оптический усилитель яркости и фотоумножитель. Возбуждение фотолюминесценции (ФЛ) производилось с помощью Не-Не лазера, а ее анализ производился с помощью двойного монохроматора и охлаждаемого фотоумножителя, работающего в режиме счета фотонов.

Методика очистки поверхности подложек кремния и технология выращивания слоев фторидов описаны в [5]. Перед ростом фторидов на поверхности GaAs (111)B выращивался тонкий (10 нм) буферный слой арсенида галлия при температуре подложки $T_s=590^\circ\text{C}$. После охлаждения подложки до 500°C под потоком As_4 обычно наблюдалась сверхструктура 2x2. Далее шторка источника As_4

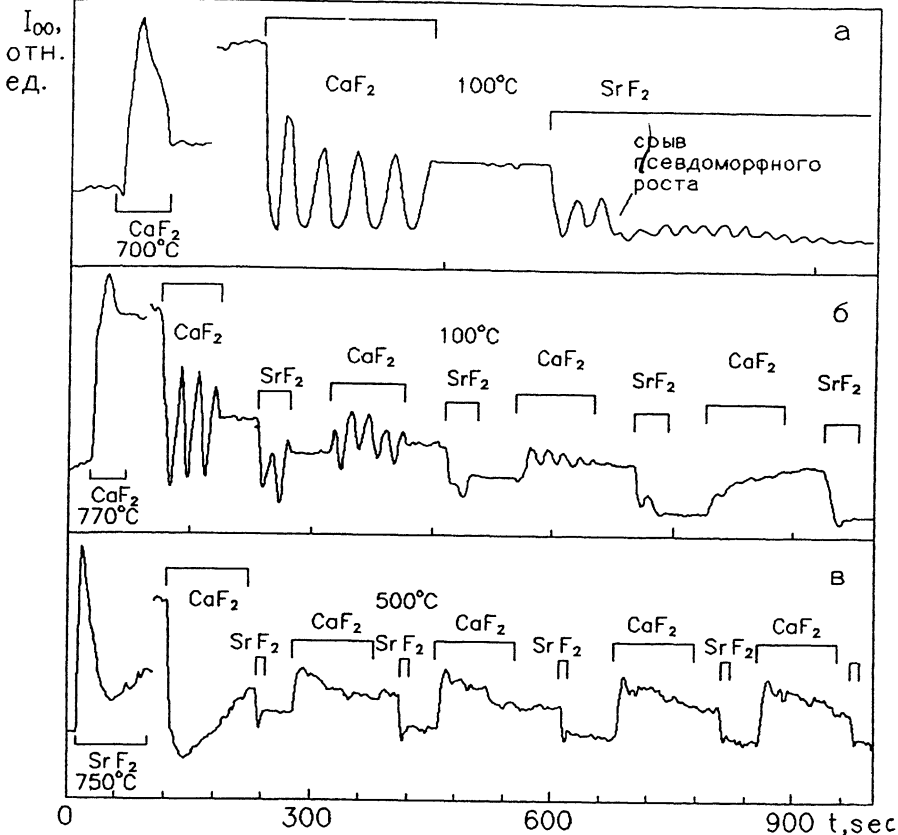


Рис. 1. Зависимости интенсивности рефлекса ОО в картинах ДБЭ от времени при выращивании структуры $SrF_2/CaF_2/Si$ (111) (а), сверхрешетки $[2(SrF_2)/4(CaF_2)]_4/CaF_2/Si$ (111) (б), сверхрешетки $[1(SrF_2)/10(CaF_2)]_{10}/SrF_2/Si$ (111) (в). Азимут электронного луча $[1\bar{1}\bar{2}]$, угол падения ~ 40 мин, энергия электронов 15 кэВ.

закрывалась и начинался рост фторида. Контроль толщины выращенных слоев фторида производился по осцилляциям интенсивности ДБЭ [4], один период которых соответствовал росту одного монослоя фторида.

На рис. 1 представлены зависимости от времени интенсивности дифракционного рефлекса ОО при выращивании напряженных слоев (а) и сверхрешеток (б, в) фторидов на Si (111). Анализ зависимости $I_{OO}(t)$, приведенной в верхней части этого рисунка, показывает, что рост первых двух монослоев SrF_2 на поверхности CaF_2 происходит когерентно, а при заполнении третьего монослоя наблюдается срыв псевдоморфизма. Такая малая величина критической толщины для псевдоморфного роста слоя не является неожи-

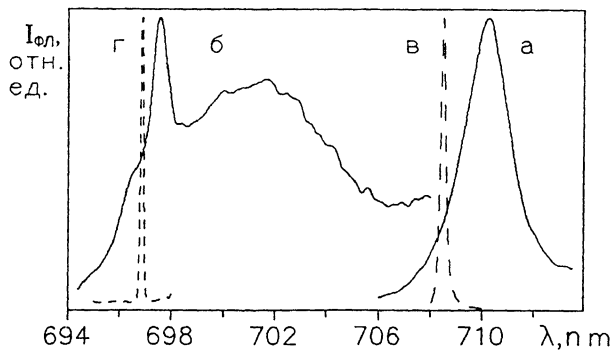


Рис. 2. Спектры фотолюминесценции ионов Sm^{2+} при 1.8 К в сверхрешетках $[1(\text{SrF}_2)/10(\text{CaF}_2:\text{Sm})]_{10}/\text{CaF}_2/\text{Si}$ (111) (а), $[1(\text{SrF}_2)/10(\text{CaF}_2:\text{Sm})]_{10}/\text{SrF}_2/\text{Si}$ (111) (б) и объемных монокристаллах $\text{CaF}_2:\text{Sm}$ (в) и $\text{SrF}_2:\text{Sm}$ (г).

ной, если учесть большую величину несоответствия постоянных решеток SrF_2 и CaF_2 . Измерив критическую толщину псевдоморфного роста SrF_2 на CaF_2 , мы смогли вырастить напряженную сверхрешетку $2(\text{SrF}_2)/4(\text{CaF}_2)$, имеющую 4 периода (рис. 1, б). Наблюдаемое затухание осцилляций связано, по-видимому, с развитием рельефа поверхности из-за низкой температуры роста слоя (100°C). Зависимость I_{oo} во время роста сверхрешетки $1(\text{SrF}_2)/10(\text{CaF}_2)$ при температуре 500°C показана на рис. 1, в. Несмотря на зашумленность этой кривой можно видеть, что поведение $I_{\text{oo}}(t)$ при открывании источников повторяется в каждом периоде сверхрешетки, что свидетельствует о воспроизведимости условий роста слоя после начала каждого нового периода.

Спектры фотолюминесценции ионов Sm^{2+} в сверхрешетках $[1(\text{SrF}_2)/10(\text{CaF}_2:\text{Sm})]_{10}$, выращенных при $T_S = 500^\circ\text{C}$ на гетероструктурах CaF_2/Si (111) и SrF_2/Si (111), показаны соответственно на кривых (а) и (б) рис. 2. На этом же рисунке представлены спектры фотолюминесценции ионов Sm^{2+} в области бесфононных линий переходов $5d \rightarrow 4f$ в монокристалле CaF_2 (кривая (в)) и перехода $5D_0 - 7F_1$ внутри $4f^6$ оболочки в монокристалле SrF_2 (кривая (г)). Положение линии ФЛ в сверхрешетке, выращенной на CaF_2/Si (111), показывает, что в ней слои $\text{CaF}_2:\text{Sm}$ сжаты в плоскости интерфейса, а величина деформации близка к величине сжатия (-0.3%), наблюдаемой в псевдоморфных слоях $\text{CaF}_2:\text{Sm}^{2+}$ на $\text{Si}(111)$ [4]. Это позволяет сделать вывод о том, что данная сверхрешетка является напряженной и когерентной с подложкой кремния. Спектр ФЛ такой же сверхрешетки $[1(\text{SrF}_2)/10(\text{CaF}_2:\text{Sm})]_{10}$, выращенной на SrF_2/Si (111), имеет совершенно другой характер.

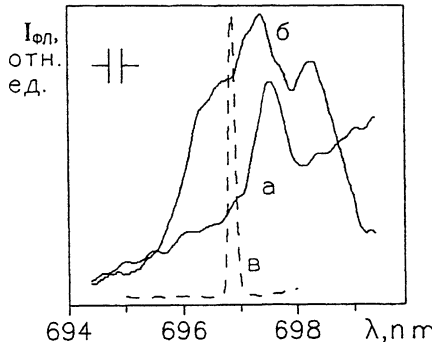


Рис. 3. Спектры люминесценции ионов Sm^{2+} при 1.8 К в сверхрешетке $[2(SrF_2)/2(CaF_2:Sm)]_4/GaAs(111)$ (а), твердом растворе $Ca_{0.5}Sr_{0.5}F_2:Sm/GaAs(111)$ (б) и объемном монокристалле $SrF_2:Sm$ (в).

Во-первых, положение и полуширина линии люминесценции Sm^{2+} в слоях CaF_2 свидетельствует о наличии в них значительной концентрации дефектов и существенной ($\sim 1\%$) средней деформации растяжения. Наблюдаемая в этой сверхрешетке значительно большая ширина линии люминесценции по сравнению с кривой (а) указывает, по-видимому, на наличие некоторой релаксации упругих напряжений между слоями сверхрешетки. Во-вторых, вблизи 697.5 нм наблюдается новая узкая линия люминесценции. Близость ее к спектральному положению бесфононной линии запрещенного $^5D_0 - ^7F_1$ перехода в $4f^6$ оболочке ионов Sm^{2+} в объемных монокристаллах SrF_2 , а также наблюдаемое насыщение ее интенсивности при увеличении интенсивности возбуждения позволяют предположить, что эти линии имеют сходную природу.

Одной из причин возникновения линии 697.5 нм может быть излучательная рекомбинация в ионах Sm^{2+} , расположенных вблизи гетерограниц SrF_2/CaF_2 . В то же время известно [6], что энергия уровня смешанной конфигурации $4f^55d$, сильно возрастает при растяжении CaF_2 . Проведенные нами оценки показали, что нельзя исключить возможность того, что в наиболее деформированных областях внутри слоев CaF_2 могут реализоваться условия, в которых этот уровень оказывается выше уровня 5D_0 , принадлежащего к $4f^6$ оболочке, положение которого слабо меняется от величины деформации. Окончательное выяснение причины появления этой новой линии требует дополнительных исследований.

На рис. 3 приведены спектры ФЛ сверхрешетки $[2(SrF_2)/2(CaF_2:Sm)]_4/GaAs(111)$ (а), твердого раствора $Ca_{0.5}Sr_{0.5}F_2:Sm/GaAs(111)$ (б) и объемного монокристалла $SrF_2:Sm^{2+}$ (в). Значительно меньшая ширина линии в области 697.5 нм на кривой (а) указывает на существенно большую упорядоченность расположе-

ния атомов Ca и Sr относительно ионов Sm^{2+} в сверхрешетке по сравнению с твердым раствором. Наклонный фон на кривой (а) обусловлен, по-видимому, главным образом, излучением ионов Sm^{2+} в слое CaF_2 : Sm , выращенном поверх этой сверхрешетки.

Таким образом, нами впервые были проанализированы зависимости интенсивности дифракции быстрых электронов на отражение во время эпитаксиального роста CaF_2 и SrF_2 , а также спектры низкотемпературной фотолюминесценции в напряженных слоях и сверхрешетках на основе этих фторидов. Результаты этого анализа показывают, что путем выбора условий роста методом молекулярно-лучевой эпитаксии, несмотря на большое рассогласование постоянных решеток этих фторидов, удается выращивать как полностью так и частично когерентные напряженные структуры и сверхрешетки фторидов на $\text{Si}(111)$ и $\text{GaAs}(111)$ В. Такие структуры представляют значительный интерес как для ряда практических применений, так и для проведения фундаментальных исследований в области физики низкоразмерных систем.

Авторы выражают признательность В.В. Овсянкину за обсуждение результатов, Е.Ф. Мартыненко за помощь в подготовке образцов и А.А. Каплянскому за поддержку работы.

Список литературы

- [1] Schowalter L.J., Fathauer R.W. // J. Vac. Sci. Technol. 1986. V. A4. N 3. P. 1026–1032; Ishiwara H., Asano T., Tsutsui K., Lee H.C., Furukawa S. // Mat. Res. Soc. Symp. Proc. 1988. V. 102. P. 343–353.
- [2] Waho T., Saeki H. // Jap. J. Appl. Phys. V. 30. N 2. P. 221–227. Fontaine C., Munoz-Yague A., Heraud H., Bernard L., Rocher A. // J. Appl. Phys. 1987. V. 61. N 8. P. 2807–2812.
- [3] Fontaine C., Castagne J., Bedel E., Munoz-Yague A. // J. Appl. Phys. 1988. V. 64. N 4. P. 2076–2078.
- [4] Sokolov N.S., Yakovlev N.L., Almeida J. // Solid State Commun. 1990. V. 76. N 7. P. 883–885.
- [5] Гастев С.В., Новиков С.В., Соколов Н.С., Яковлев Н.Л. // Письма в ЖТФ. 1987. Т. 13. В. 16. С. 961–966.
- [6] Каплянский А.А., Пржевуский А.К. // Опт. и спектр. 1965. Т. 19. № 4. С. 597–610.

Поступило в Редакцию
21 октября 1991 г.